

О ДИНАМИКЕ ДИФРАКЦИОННОЙ ДИССОЦИИИ АДРОНОВ

В. А. Царев

УДК 539.171

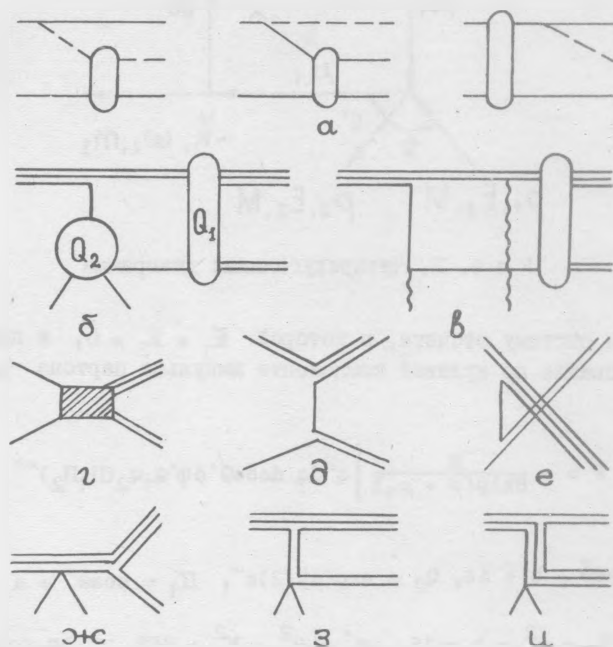
Предложена модель дифракционной диссоциации, в которой затравочными являются кварковые состояния адрона. Обсуждаются свойства модели.

В работах /1/ было показано, что дифракционную диссоциацию (ДД) адронов можно рассматривать как результат взаимодействия некоторых "затравочных" состояний адрона, испытывающих только упругое дифракционное рассеяние. Наиболее популярной реализацией этой общей идеи явилась модель Дрелла-Хииды-Дека (ДХД) /2/, в которой предполагается, что затравочные состояния близки к состояниям реальных частиц (рис. 1). Однако, несмотря на известные успехи, при сравнении с экспериментом эта модель встречает ряд трудностей. (Обзор современного развития модели ДХД можно найти, например, в работе /3/). Кроме того, с принципиальной точки зрения вызывает также возражение выбор в качестве затравочных состояний - реальных состояний частиц.

В настоящей работе предлагается модель ДД, в которой затравочными являются кварковые системы, составляющие адрон. Принципиальное отличие от модели ДХД состоит в том, что кварки не вылетают из адрона и после упругого рассеяния обязательно взаимодействуют между собой, превращаясь в конечную адронную систему. Диаграммы, соответствующие такому механизму уже не являются полюсными и, например, для ДД $N \rightarrow \pi N$ в импульсном приближении имеют вид, изображенный на рис. 1б. Абсорбтивные поправки показаны на рис. 1в.

Простейшие вклады в амплитуду Q_1 превращения кварков в адроны показаны на рис. 1 г, д, е. Учет вклада резонансов, изображенных на рис. 1 г, тривиален и сводится к вычислению треугольной диаграммы. С точки зрения динамики ДД более интересными представляются нерезонансные (обменные) вклады (см. рис. 1д и 1е),

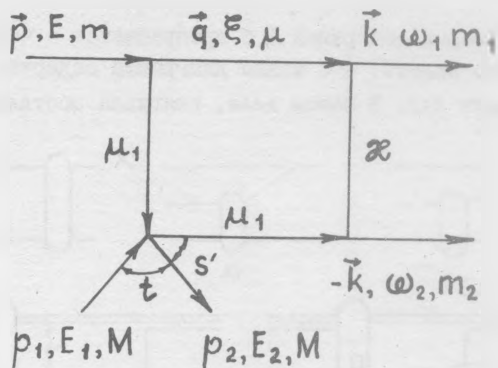
при учете которых диаграмма I б превращается в четырехугольную - рис. 2. Легко видеть, что такая диаграмма содержит, как частный случай, модель ДХД. В самом деле, стягивая соответствующие квар-



Р и с. I. Диаграммы, описывающие дифракционную диссоциацию

ковые линии, получим диаграммы I ж - и, которые являются кварковой записью диаграмм ДХД (рис. Ia).

Можно ожидать, что основные свойства амплитуды ДД при малых t и w не очень чувствительны к виду волновых функций и могут быть получены из диаграммы рис. 2 с постоянными вершинами. При некоторых упрощающих предположениях амплитуда, соответствующая диаграмме рис. 2, может быть вычислена аналитически. Будем считать все частицы безспиновыми и (кроме p_1 и p_2) нерелятивистскими. Амплитуду \hat{Q}_1 будем вычислять на массовой поверхности.



Р и с. 2. Четырехугольная диаграмма

Используя систему отсчета, в которой $\vec{k}_1 + \vec{k}_2 = 0$, и производя интегрирование по нулевой компоненте импульса партона q_0 , получим

$$F = - \frac{N}{8\kappa_1 p(\mu + \mu_1)} \int q^2 dq d\cos\theta' d\varphi' Q_1 Q_2 (\Pi_1 \Pi_2)^{-1}. \quad (1)$$

Здесь:

$$Q_1 = \cos\bar{\theta} + c + 1\epsilon, \quad Q_2 = \exp(\beta t/2)s', \quad \Pi_1 = \cos\theta' + a + 1\epsilon,$$

$$\Pi_2 = q^2 - b - 1\epsilon, \quad s' = \mu^2 + M^2 + 2\epsilon E_2 + 2q p_2 \cos\bar{\theta},$$

$$\cos\bar{\theta} = \cos\theta' \cos\theta + \sin\theta' \sin\theta \cos\varphi',$$

$$\cos\hat{\theta} = \cos\theta' \cos\chi + \sin\theta' \sin\chi \cos(\varphi - \varphi'),$$

$\theta, \theta', \bar{\theta}, \hat{\theta}$ и χ — углы, соответственно между векторами \vec{k} и \vec{p}, \vec{q} и \vec{p}, \vec{q} и \vec{k}, \vec{q} и \vec{p}_2, \vec{p}_1 и \vec{p}_2 ,

$$a = - (a_1 q^2 + b_1)/q, \quad a_1 = \frac{\mu + \mu_1}{2p\mu_1},$$

$$b_1 = \frac{\mu}{p} \left[p^2 \left(\frac{m - \mu_1}{2m\mu_1} \right) + \mu + \mu_1 - m_1 \right], \quad b = \frac{2\mu\mu_1}{\mu + \mu_1} (W - \mu - \mu_1);$$

$$c = -\frac{1}{1k} [\omega_1(x + m_1) + \varepsilon_1(\mu - x) - m_1^2 - \mu^2 + x^2]$$

$$\omega_1 = (w^2 + m_1^2 - m_2^2)/2w; \quad \varepsilon_1 = (w^2 + \mu^2 - \mu_1^2)/2w.$$

Величины ω_1 , ε_1 , k и l — это энергии и импульсы конечного адрона и кварка (на массовой поверхности), w — масса возбужденной системы. Инвариант t связан с p^2 и w соотношением $t = (w - m)^2 - wp^2/m$. Постоянная N учитывает произведение констант взаимодействия адронов с кварками в вершинах диаграммы, приведенной на рис. 2, и полного сечения рассеяния кварков, которое предполагается постоянным. Вычисление интегралов по углам θ' и φ' вектора \vec{q} сводится к стандартным интегралам. Мы будем здесь пренебрегать зависимостью s' от внутренних переменных, заменяя $s' \rightarrow s_1 = (p_2 + k_2)^2$ и аппроксимируем вклад разреза от интегрирования по φ' парой полюсов в точках ветвления. Тогда оставшийся интеграл по q можно свести к вычетам в полюсах. В общем случае, даже после использованных упрощений, выражение для F оказывается очень громоздким. Поэтому мы приведем здесь лишь вклад, существенный вблизи порога $w \approx m_1 + m_2$:

$$F \approx -\frac{\pi^2 s_1 \exp(\beta t/2) N}{8klp(\mu + \mu_1)} \left\{ \frac{1}{R(\theta)} + \frac{1}{R(\pi - \theta)} \right\} \times \\ \times \ln \frac{2a_1 \sqrt{b} - 1 + \sqrt{1 - 4a_1 b_1}}{2a_1 \sqrt{b} + 1 + \sqrt{1 - 4a_1 b_1}}, \quad (2)$$

где

$$R(\theta) = (\sqrt{b} - c \cos \theta)^2 - \sin^2 \theta. \quad (3)$$

Рассмотрим свойства выражения (2).

1. При $w \rightarrow m_1 + m_2$ величина $c \rightarrow -\infty$ и зависимость от θ пропадает, что согласуется с экспериментальным фактом преобладания s -волны в ДД вблизи порога по w .

2. Зависимость от w определяется, в основном, фактором перед логарифмом и имеет вид $\sim (w - m)^{-2}$. Это приводит к распределению

по массе $\sim k(W - m)^{-4}$, имеющему острый пик вблизи порога, который является характерной чертой всех процессов ДД.

3. Как видно из (3), распределение по $\cos\theta$ имеет пики при $\cos\theta = \pm 1$. Подобные пики обнаружены в экспериментах по ДД нуклонов. Интересно, что оба пика вблизи порога описываются одной диаграммой рис. 1д без перекрестного вклада рис. 1е. Это является результатом симметричного интегрирования по "внутренним" углам θ' , φ' кварка. В модели ДД описание пика при $\cos\theta = -1$ требует учета перекрестной диаграммы. С ростом W прямой и перекрестный вклады (рис. 1д и 1е) будут преобладать соответственно при $\cos\theta = +1$ и -1 .

4. В формуле (2) зависимость от t определяется логарифмом. Легко убедиться, что аномальная особенность, связанная с исчезновением числителя в аргументе логарифма, при малых W может лежать близко к физической области по t , а с ростом W - удаляется от нее. Вследствие этого воспроизводится характерная для процессов ДД корреляция массы W и наклона t -распределения.

5. Наконец, в рамках предлагаемой модели находит простое объяснение тот экспериментальный факт, что сечение перерасеяния в ДД на ядрах близко к сечению взаимодействия начального адрона. Действительно, конечная система, изображенная на рис. 1б, длительное время ($\sim E_1/m$) существует в виде тех же кварков, из которых состоял исходный адрон.

Таким образом, основные черты процессов ДД, найденные в экспериментах (см. /3/), качественно воспроизводятся простой моделью (2). Более детальный анализ кварковой модели ДД будет дан в последующей публикации.

Поступила в редакцию
5 декабря 1977 г.

Л и т е р а т у р а

1. E. L. Feinberg, I. Ya. Pomeranchuk, Supl. Nuovo Cim., 2, 652 (1956); M. L. Good, W. Walker, Phys. Rev., 120, 1857 (1960).
2. S. D. Drell, K. Hida, Phys. Rev. Lett., 7, 199 (1961); R. Deck, Phys. Rev. Lett., 13, 1969 (1964).
3. Н. П. Зотов, В. А. Царев, ЭЧАЯ, 9, № 3 (1977).